

ДВОЖИЧНИ ВОД ЕЛИПТИЧНОГ ПОПРЕЧНОГ ПРЕСЕКА ПРОВОДНИКА ИZNAD ПРОВОДНЕ РАВНИ

Ненад Н. Цветковић, Електронски факултет у Нишу

Садржај - Помоћу једног једноставног нумеричког метода, решен је двожични вод који се налази изнад проводне равни и чији су проводници попречног пресека облика елипсе. Примењени метод заснива се на апроксимацији еквипотенцијалних површина подесно одабраним функцијама које задовољавају Ламеов услов.

1. УВОД

Уобичајени методи за решавање електростатичких проблема се могу поделити на две групе, зависно од тога која се величина, електрични скалар потенцијал или расподела наелектрисања на површинама проводника, првобитно одређује, а затим помоћу ње прорачунавају све остале величине од интереса.

У раду [1], предложен је један нов, једноставан и задовољавајући тачан метод за решавање електростатичких проблема, заснован на директној апроксимацији еквипотенцијалних површина које задовољавају Ламеов услов. Постоји на овај начин одреде еквипотенцијалне површине, потенцијал и јачина електричног поља прорачунавају се на уобичајени начин, како се то чини у оквиру примене Ламеовог метода [3]. Поменути метод може се применити на водове различитог попречног пресека проводника [2].

У овом раду метод је применет на вод елиптичног попречног пресека проводника који се налази изнад проводне равни. Извршена је и анализа гравитационог услова за поље на површини проводника. Добијени резултати указују на задовољавајућу тачност метода.

2. УКРАТКО О ЛАМЕОВОМ МЕТОДУ

У даљем тексту биће укратко изложена примена Ламеовог метода.

Нека је једначина еквипотенцијалних површина у околини усамљене електроде окруженој хомогеном, линеарном и изотропном средином

$$f(r) = C, \quad (1)$$

тако да је за $C = C_0$ садржана површина тела. Као што је на свакој еквипотенцијалној површини потенцијал сталне вредности, то се решење за потенцијал може приказати као

$$\phi = \phi[f(r)] , \quad (2)$$

при чему је услов

$$\phi = \phi[f(r) = C] = C^{\text{ic}} \quad (3)$$

увек испуњен.

Поред овог услова потенцијал мора да задовољи и Лапласову једначину $\Delta\phi = 0$. Како је

$$\operatorname{grad}\phi = \phi' \operatorname{grad}f \quad (4)$$

и

$$\Delta\phi = \phi''(\operatorname{grad}f)^2 + \phi' f' , \quad (5)$$

где је $\phi' = d\phi/df$ и $\phi'' = d^2\phi/df^2$, то се из Лапласове једначине добија

$$\frac{\phi''}{\phi'} = -\frac{\Delta f}{(\operatorname{grad}f)^2} . \quad (6)$$

Лева страна претходног израза је функција само једне променљиве f , па таква мора бити и десна страна, односно мора бити испуњен Ламеов услов

$$g(f) = \frac{\Delta f}{(\operatorname{grad}f)^2} , \quad (7)$$

где је

$$\frac{\phi''}{\phi'} = -g(f) . \quad (8)$$

Када је услов (7) испуњен, за јачину електричног поља и потенцијал се добија:

$$E = -\operatorname{grad}\phi = -\phi' \operatorname{grad}f = -C_1 \operatorname{grad}f e^{-\int g(f) df} \quad (9)$$

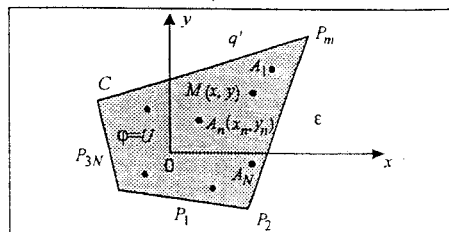
и

$$\phi = C_2 - C_1 \int e^{-\int g(f) df} df , \quad (10)$$

где су C_1 и C_2 константе интеграције.

3. АПРОКСИМАЦИЈА ЕКВИПОТЕНЦИЈАЛА

Поступак апроксимације еквипотенцијала биће приказан на примеру планпаралелног поља које постоји у простору поред усамљене цилиндричне електроде попречног пресека са Сл. 1.



Сл. 1. Попречни пресек цилиндричне електроде

Једначина еквипотенцијалних површина биће потражена у облику

$$f = \prod_{n=1}^N f_n^{\alpha_n} = C, \quad (11)$$

$$f_n = (x - x_n)^2 + (y - y_n)^2, \quad (12)$$

при чему се тачке $A_n(x_n, y_n)$, $n = 1, 2, \dots, N$, налазе унутар проводника. Непознате α_n , $n = 1, 2, \dots, N$, и координате тачака унутар проводника x_n и y_n бирају се тако да на контури попречног пресека проводника C , вредност величине f буде константна у $3N$ тачака подешавања P_m одабраних на површини електроде. На овај начин добија се следећи систем нелинеарних једначина

$$f(P_m) = C^{te}, \quad m = 1, 2, \dots, 3N. \quad (13)$$

Решавањем претходног система једначина одређују се координате унутрашњих тачака и величине у експонентима. Како породица површина (11) испуњава Ламеов услов при чему је

$$g = 1/f, \quad (14)$$

то се се после интеграције за потенцијал добија

$$\begin{aligned} \phi &= C_1 \ln f + C_2 \\ &= C_1 \sum_{n=1}^N \alpha_n \ln [(x - x_n)^2 + (y - y_n)^2] + C_2. \end{aligned} \quad (15)$$

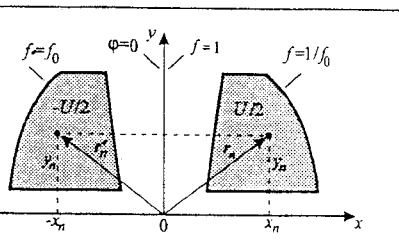
Константа C_1 одређује се помоћу везе

$$q' = -\pi \epsilon C_1 \sum_{n=1}^N \alpha_n \quad (16)$$

дејствије је q' подужно наелектрисање електроде, док је константу C_2 могуће одредити након избора референтне тачке.

У случају двожичног вода чији је попречни пресек приказан на Сл. 2, једначина еквипотенцијалних површина дата је изразом (11), при чему је

$$f_n = \frac{(r - r'_n)^2}{(r - r_n)^2} = \frac{(x + x_n)^2 + (y + y_n)^2}{(x - x_n)^2 + (y - y_n)^2}. \quad (17)$$



Сл. 2. Попречни пресек двожичног вода

У симетралној равни вода (за $x = 0$) је $f = 1$, на десном проводнику је $f = f_0 = C^{te}$, а на левом $f = 1/f_0$.

Потенцијал се израчунава по обрасцу

$$\phi = \frac{U \ln f}{2 \ln f_0}, \quad (18)$$

и вектори електричног и магнетног поља

$$E = -\text{grad } \phi \quad (19)$$

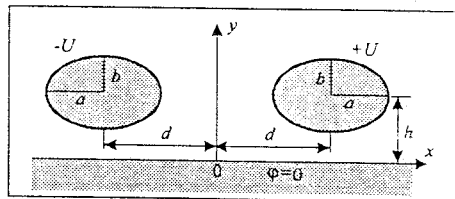
$$H = \hat{z} \times E \sqrt{\epsilon / \mu} \quad (20)$$

Подужна капацитивност воде одређује се као

$$C' = \frac{2\pi\epsilon}{\ln f_0} \sum_{n=1}^N \alpha_n. \quad (21)$$

4. ПРИМЕРИ

Посматра се двожични вод са Сл. 3, чији се проводници елиптичног попречног пресека полуоса a и b налазе изнад проводне равни.



Сл. 3. Двожични вод са проводницима елиптичног попречног пресека изнад проводне равни

У овом случају у израз (11) који представља једначину еквипотенцијалних површина потребно је уврстити функције

$$f_n = \frac{(x - x_n)^2 + (y + y_n)^2}{(x - x_n)^2 + (y - y_n)^2} \frac{(x + x_n)^2 + (y - y_n)^2}{(x + x_n)^2 + (y + y_n)^2} \quad (22)$$

Параметарске једначине елипсе која представља попречни пресек десног проводника су

$$x = d + a \cos p \quad (23)$$

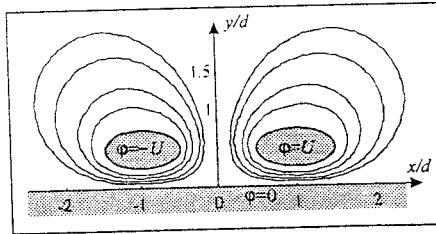
$$y = h + b \sin p \quad (24)$$

У Таблици 1 приказане су вредности величина α_n , x_n и y_n за двожични вод са Сл. 3, када је $h/d = a/d = 0.5$ и $b/d = 0.25$, при чему број чланова реда у апроксимацији (11) узима различите вредности.

Таблица 1.

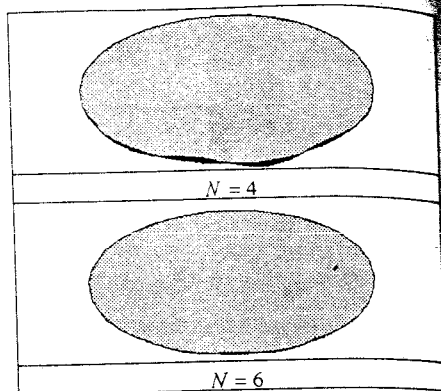
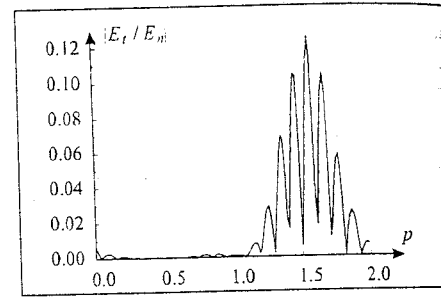
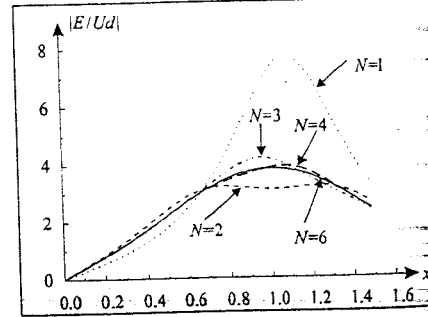
| N | n | α_n | x_n/d | y_n/d |
|-----|-----|-------------|-------------|-------------|
| 1 | 1 | 1.411766606 | 1.076066186 | 0.356901476 |
| | 2 | 0.603515394 | 0.673895156 | 0.440019820 |
| 3 | 1 | 0.526408678 | 1.319603424 | 0.425525212 |
| | 2 | 0.512829816 | 0.944364175 | 0.361561833 |
| | 3 | 0.314851476 | 0.609808868 | 0.487135890 |
| 4 | 1 | 0.325062389 | 1.377561316 | 0.457332563 |
| | 2 | 0.148050170 | 0.568567447 | 0.508972270 |
| | 3 | 0.358023406 | 0.723004030 | 0.428453318 |
| | 4 | 0.395320876 | 1.103478005 | 0.365018373 |
| 6 | 1 | 0.242303397 | 1.397632266 | 0.472470639 |
| | 2 | 0.151860162 | 0.577153028 | 0.497796398 |
| | 3 | 0.201600232 | 0.669722305 | 0.459565937 |
| | 4 | 0.262707797 | 0.871134430 | 0.380616800 |
| | 5 | 0.232477637 | 1.140806351 | 0.369919674 |
| | 6 | 0.176593276 | 1.350563799 | 0.444825721 |
| | 7 | 0.095172664 | 1.428801551 | 0.496473402 |

На Сл. 4 приказане су еквипотенцијалне линије када је $h/d = a/d = 0.5$, $b/d = 0.25$ и број чланака у апроксимацији (11) $N = 4$.

Сл. 5. Еквипотенцијале вода са Сл. 3, када је $h = a = 0.5d$, $b = 0.25d$ и $N = 6$

Грешка у апроксимацији елипсасте криве која омеђује десни проводник када је $h = a = 0.5d$ и $b = 0.25d$ за $N = 4$ и $N = 6$ приказана је на Сл. 5. Једноставним посматрањем уочава се да је за $N = 6$ начињена грешка у апроксимацији попречног пресека готово занемарљиво мала на скоро целој површини проводника, осим на делу површине који је најближи проводној равни.

Однос тангенцијалне и нормалне компоненте електричног поља на површини десног проводника у функцији параметра p за $h = a = 0.5d$, $b = 0.25d$ и $N = 6$ приказан је на Сл. 6. Као што се види, гранични услов за електрично поље практично је испуњен на целој површини проводника, осим за вредности у околини тачке $p = 1.5$, што одговара тачкама на површини проводника које су најближе проводној равни. Грешка је локалног карактера и реда је неколико процената, осим у појединим изолованим тачкама где достиже вредност 10-12%.

Сл. 6. Грешка у апроксимацији попречног пресека десног проводника вода са Сл. 3, када је $h = a = 0.5d$ и $b = 0.25d$ Сл. 7. Однос тангенцијалне и нормалне компоненте електричног поља на површини десног проводника вода са Сл. 3, када је $h = a = 0.5d$, $b = 0.25d$ и $N = 6$ Сл. 8. Интензитет електричног поља на проводној равни вода са Сл. 3, када је $h = a = 0.5d$, $b = 0.25d$

Гранични услов за електрично поље на површини проводне равни аутоматски је задовољен природе метода. Нормализована вредност интензитета електричног поља на проводној равни је слична за воду са Сл. 3, када је $h = a = 0.5d$, $b = 0.25d$.

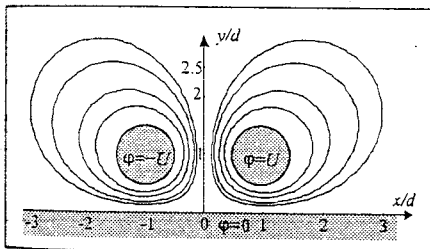
Узимају се различите вредности, приказана је на Сл. 9. Уочава се да се са порастом броја чланова у апроксимацији (11), разлика функција интензитета електричног поља за различите вредности N смањује.

У Табелици 2 налазе се вредности величина x_n , y_n и α_n за двожични вод са Сл. 3, када је $\tau = 1$ и $a/d = b/d = 0.5$, при чему N узима различите вредности. Еквипотенцијалне линије за овај случај, када је $N = 4$ приказане су на Сл. 9. На Сл. 10 приказан је попречни пресек десног проводника и крива која омеђује десни проводник када је $N = 2$. Однос тангенцијалне и нормалне компоненте електричног поља на површини десног проводника вода са Сл. 3, када је $h = a = 0.5d$, $b = 0.25d$ и $N = 4$ приказан је на Сл. 11.

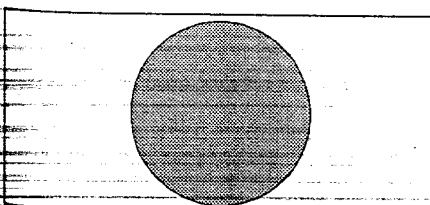
Може се уочити да се већ за $N = 2$ попречни пресек десног проводника и површина којом се овај попречни пресек апроксимира практично поклапају, док је гранични услов за електрично поље практично испуњен на целој површини проводника.

Таблица 2.

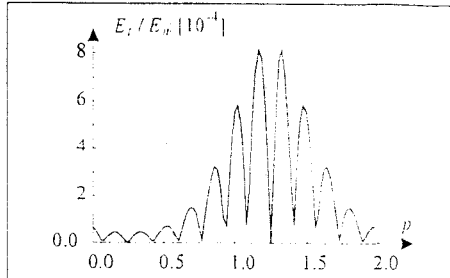
| N | n | α_n | x_n/d | y_n/d |
|-----|-----|-------------|-------------|-------------|
| 1 | 1 | 0.983691834 | 0.929537536 | 0.094673021 |
| 2 | 1 | 0.471935406 | 0.836600919 | 1.025214529 |
| | 2 | 0.523458020 | 1.016280831 | 0.846716545 |
| 4 | 1 | 0.391949028 | 0.826657282 | 1.007424456 |
| | 2 | 0.105747068 | 0.881244488 | 1.085947383 |
| | 3 | 0.391949028 | 1.007424456 | 0.826657282 |
| | 4 | 0.105747068 | 1.085947383 | 0.881244488 |



Слика 9. Еквипотенцијале воде са Сл. 3, када је $h=d$, $a=b=0.5d$ и $N=4$



Сл. 10. Попречни пресек десног проводника вода са Сл. 3 и површина помоћу које се апроксимира када је $h=d$, $a=b=0.5d$ и $N=2$



Сл. 11. Однос тангенцијалне и нормалне компоненте електричног поља на површине десног проводника вода са Сл. 3, када је $h=a=0.5d$, $b=0.25d$ и $N=4$

5. ЗАКЈУЧАК

Помоћу једноставног нумеричког метода заснованог на апроксимацији еквипотенцијалних површина помоћу подесно одабраних функција које испуњавају Ламеов услов, одређена је расподела електромагнетног поља у двожичном воду елиптичног попречног пресека проводника који се налази изнад проводне равни. Са малим бројем чланова у изразу (11) постиче се задовољавајућа тачност, како у погледу апроксимације еквипотенцијалних површина, тако и у погледу испуњења граничног услова за електрично поље на површини проводника.

ЛИТЕРАТУРА

- [1] Величковић Д. М., "Приближно нумеричко решавање електростатичких проблема помоћу Ламеовог метода", Зборник радова XXXIX Конференције за ЕТРАН, Златибор, 6.-9. јун 1995, Свеска II, стр. 282-285.
- [2] Veličković D. M., Cvetković N. N.: "Lame's Method in Approximate Numerical Solving of Plan-Parallel Electrostatic Problems", 7th International IGTE Symposium, Graz, Austria, 23.-25. September 1996., Proceedings of Papers, pp. 420-423.
- [3] Миролубов Н.Н., Костенко М.В., Левинштейн М.Л., Тиходеев Н.Н., "Методы расчета электростатических полей", ВЫШАЯ ШКОЛА, Москва 1963., стр. 259-271.

Abstract - The line with elliptical conductors over a conducting plane is solved by using simple numerical method for analysis of a transmission line. The method is based on the direct approximation of equipotential surfaces with simple functions which automatically satisfy Lame's condition.

TWO WIRE LINE WITH ELLIPTICAL CROSS-SECTION CONDUCTORS OVER CONDUCTING PLANE

Nenad N. Cvetković